**SUEKTPOTEXHUKA** 

### K. P. MAAAAH

# К РАСЧЕТУ АКТИВНОГО СОПРОТИВЛЕНИЯ СТАЛЕАЛЮМИНИЕВЫХ ПРОВОДОЕ НА ПРОМЫШЛЕННОЙ **4ACTOTE**

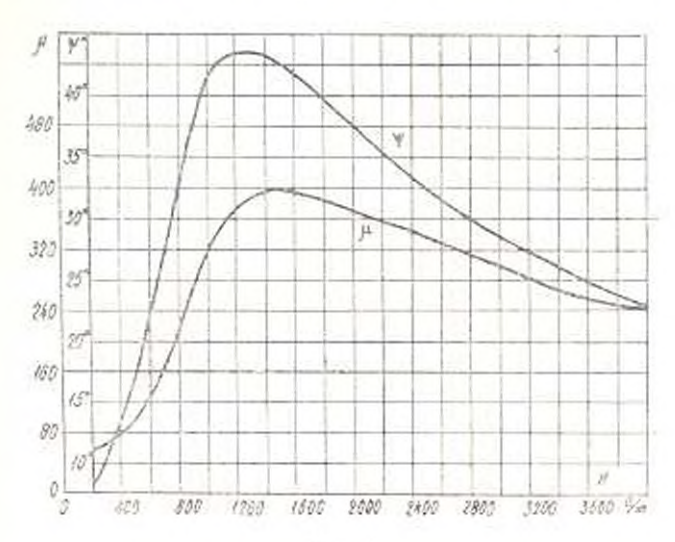
При вадиональном проектирования современных монных линий влектринередаче испочения пивокаца с титамента стечевующинских пообстоя пеобходимо оподельць электрические параметры принидов с большей степенью точности, чем 510 двлолось до сих шир В то же время из-зи пложност понструкции, соответствения картием размределения влектрического и чатичным полей и теле приведа, активное и режинаное сопринивления из поддажное строгому теореническому расчету. Недолгаточен и объет имеющихся загосраментельных не ледовании различных дерак-тристик проводом

В пастоящей стагье приводи, и впаму с вынация основных конструктионых фаятиров на параметры происдов, в ча тности на активное сопротивление в чак не предлагаются резимендання по от расчету, осниванные на видлине полученных результатов и критическом рассмотрении некоторыя предлажением мотодов [1, 2, 3] применительно к сущи тнующим импе липам троводов. При втим, вноляе и вятью, необхоэтом при этим методом размети, и сан и е чем результати прежилу исследонаний рассиотранаются в слите доставлено подробно.

Для однововняных проводон обстоятельная методика расчета параметров была разрачодана в [1]. При этом использовалась конкретвая либо упинерсальная криван зависимости - Пр. Эта методика может быть применена при неп льзования универсальной крилой (рис. 1) и для проводов, импускаемых в настоящее премя, в качестве приближенного способа, что подтверждзется результатами таких расчетов. Следует однако заметить, что погрешность расчета пои больших значениях тока (250 — 300 а) достигает 10 — 12 в ...

Аля проводон с двумя и тремя слоями надежная методике расчета отсутствует. В [1] относительно двухновивных проводов отмечается, что их расчет при тоже промышлениой частоты можно вести как на постоянном токе. В настоящее время такую методику, приемлемую в качестве прибладенного слос жа, необходимо уже уточнать. Трекпопипные пропода в [1] не рассматризались, так как лишь дальней нее разлитие энергетики привело и их появлению. В данное премя на повестие для стоит уже вопрос применения линних передая четыю жновинных проводов, а также расширенных проволов, предлагаемых в [4, 5]. Аругой же методики расчета, кроме рассмотреный, в отечаственной практике до сих пор не предложено, что связано с большими трудностями учеть физических прочессов в проводах.

Апрада имеющихся нарубежных работ [2, 3] также показывает всю сложность исследуемых яплений. Лаже в тщотельно поставленных опытах [2] невозможно выделить влияние отдельных факторов (в настности, перетока между алюминиевыми проволожами) из совокупности



Pac. 1.

всех лвлений, в связи с чем в [2, 3] даются различия поправочные коаффициенты, опытные зависимости ряда испомогательных величин для расчета и т. д. Необходимо укизать, что эти работы относятся к сортаменту заруб-жных проводов и предлагаемые кривые и коэффициенты основным на результатах исследований атих проводов, причем, и основном на частоте 60 м. Поэтому предложенные в зарубежных работах методы и- могли быть непосредствению использованы для расчета параметров, в поскольку отсутствовала их проверка применительно к отечественным проводам, то эти методы расчета не получили у нас распрострянения. Проверка же могла быть осуществлена лишь при заличия опытных данных.

По просьбе проектных ор анизаций и доборатории ТОЭ АГИ им. М. И. Калинина нами быле получены опытные значения параметров для основных типов проводов, применяемых в изстоящее время и мощных линиях передач, и представлены 18 и виде специалиных габлиц и зависимости от тока.

В табл. 1 сопоставлены полученные нами экспериментальные значения параметров, принятые за исход ые, с их расчетными значениями но различным методам 11, 2, 31. Необходимо иметь в инду, что основой расчета во всех рассматряваемых методах назавится экспериметально полученные зависимости для ченкретных конструкции проводов. Поэтому в некоторых случаях, из-яа отсутствия новможности пересчета указанными методами параметров исследованных нами проводов, приводятся данные погрешностей из самих источников [2, 3], представленные в табл. 1 курсином.

Анализ физических предпосылок, заложенных в расчетные методы [1, 2], показал, что наличие продольного потока учитывается лишь для одноповивных проводов- представляющих собой соленонд со стальным сердсчинком. Для двух- и трехповивных проводов этим явлением либо пренебрегается [1, 2], что приводит к эзниженным результатам, особенно для трехновивных проводов, либо оно участвует в расчете [3] с предварительно снятой опытной кривой у(11) для конкретного пропода. При этом поверхностный эффект в проводах учитывается по изнестным формулам для трубчатых проводников, полученным Aвайтом [6] и преобразованным затем Арнольдом [7] для удобства численных расчетов. Для одноповивных же проводов поверхностным эффектом пренебрегают. Необходимость дополнительного исследования основных факторов, влияющих на электрические параметры, и частности на активное сопротивление, для создания инженерной системы расчета оченидна. В снязи с чем, кроме получения опытных данных, необходимых проектным организоциям, в последующем были проведены специальные аналитические и опытные исследования с тем, чтобы понытаться обосновать расчетную методику.

Tabauga 1

	Зины сталезлюминеных проводов								
Антеры плечет ных методов, , од опублико- вания	Одноповивия		Logicionnesso		Трехнонизные				
	r	$\mathcal{L}_{\mathrm{intyvp}}$	#	Simp	1	Serry			
Нейман А. Р., Зайнеа И. А. [1], 1934	ao 10−12° <sub>u</sub> .	ga 19—15 °	., 1 – 2° ,	10 12 %					
W. A., Tuttle P. D 2], 1958	3-5" n	3 v <sub>(h</sub>	1 - 20 a	30.	A0 8-10 c a	3%			
Morgan V. T. [3], 196		-	1-20 a	$2{-}3S_4$	1-2×4 1	o M - 15%			

Как видно из приведенных в [8] данных, а также существующих работ, в частности [1, 3], характерным является определенный максимум в зависимости от тока для кривой коэффициента добаночных потерь k равного величине отношения активного сопротивления к сопротивлению постоянному току при соответствующей установившейся температуре. Нелинейные характер коэффициента k в проводах от тока объясняется, по-видимому, потерями в стали от продольного магнитного потока. Аналогичное явление имеет место и для впутренней индуктивности.

Для обоснования данного предположения воспользуемся опытными результатами, полученными Морганом [3], который снял характеристики двухаовивного провода с конструкцией 7.0,279 (12 18).0,270 и трехповивного провода с конструкцией 7.0.317 (12 18 + 24) × 0,317. Если напряженность продольного магнитного поля внутри провода представить в виде алгебраической суммы м. д. с. на единицу длины от токов и алюминиевых повивах, то по конструктивным данным проводов, исследованных Морганом [3], в предположении равномерного распределения тока, то есть пропорционально сечемиям повивов, расчет дает:

для двухповивного провода

$$H_{11} = I_{1}w_{1} - I_{1}w_{1} - \frac{18}{30}I \cdot 5, 2 - \frac{12}{30}I \cdot 5, 6 - 1,56I \text{ a.u.};$$

для трехновинного провода

$$H_{\rm HI} = I_{\rm a} w_{\rm a} - I_{\rm a} w_{\rm b} - I_{\rm a} w_{\rm b} = \frac{24}{54} I \cdot 3.5 - \frac{18}{54} I \cdot 3.5 + \frac{12}{54} I \cdot 4.25 = 1.34 I \ a \ m,$$

где индексы при токах I в алюминиевых повивах и числох шагов повивов со на единицу длины отсчитываются от янутреннего повива, примыкающего к стальной сердцевине; при этом I без индекса полный ток в проводе (ток в сердечнике препебрегается).

Максимальный ток, после которого коэффициент добаночных по-

 терь
  $k_{100}$  стах уменьшаться, при эксперименте она ракен:

 700
 1000

для двухповивного провода  $700\,a$ , для трехповивного  $-1200\,a$ ; подставив их в записанные ныше расчетные выражения папряженности продольного поля, получим  $H_{\rm H,\, max}=1100\,a$  м в  $H_{\rm H,\, max}=1600\,a$  м, что соответствует интервалу значений  $H_{\rm J}$  для максимума ковных магнитной процицоемости материалов данных проводов, приведенных в [3]. По данным других работ [1, 2] величина магнитной проницаемости сердечника также достигает наибольного значения примерно при тех же значениях напряженности магнитного поля  $H=900-1600\,a$  м.

Аналогичный расчет, проведенный для наших конструкций проводов, подтверждает предположение и совпадении максимума кривой добавочных потеры е максимумом магнитной пропицаемости сердечника провода для одноповивного провода, для других же проводов максимум потеры оказался несколько ниже.

Таким образом, имеющиеся опытиме зависимости и расчеты показывают, что влияние продольного потока необходимо учитывать при расчете электрических параметров не только для одноповивных, но трех- и двухновивных проподов. В то же время при расчете следует учитывать поверхностный эффект, особенно для проводов с большим раднусом сечения.

Для подтверждения этого положения и приближенной опетной оценки коэффициента новерхностного эффекта нами была снята зависимость параметров трехповивного провода ACO—700 от неличины

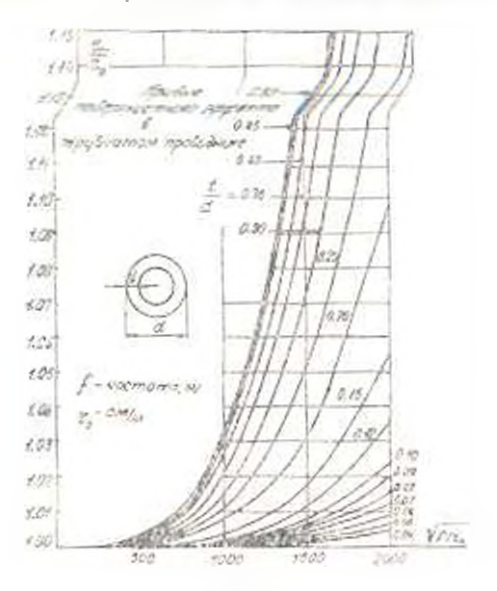
тока при одной и той же температуре I = 28 С (табл. 2). Постоявство температуры обеспечивалось быстрым проведением опыта, при этом провод был уже предварительно нагрет до указанного установившегося значения.

Таблица 2

1	$H_{i,r_1}$	r	gankth	Lenitvrp	kyan -
a	<i>a</i> 31	N. M.O 1 1)		10 им. м	-
300 190 500 600 750 800	270 368 460 552 690 736	 0,430 0,431 0,432 0,433 0,434 0,435	0.150 0.151 0.153 0.154 0.155 0.156	4,78 4,80 4,87 4,90 4,93 4,96	1,047 1,948 1,051 1,054 1,056 1,058

Примечание:  $r_{w} = 0.411 \cdot 10^{-1}$  ом м.

Из табл. 2 видно, что увеличение тока вызывает соответствующее увеличение коэффициента добавочных потеры, которое в основном обусловлено действием продольного потока. Если теперы определить



Puc. 2.

папряженность продольного магнитного поля внутри провода АСО-700 по изложенному выше способу:

$$II = I_2 w_1 - I_3 w_4 = I \cdot 2.44 - \frac{18}{5} I \cdot 2.44 + \frac{12}{54} I \cdot 2.93 = 0.92I$$

в постр ить зависимость  $\frac{1}{r_H} = f(H)$ , то но ней можно заметить, что

данная функция и указанном промежутке подчиняется линейному закону. Продолжив кривую до пересечения с осью ординат, получим получимприческое значение коэффициента поперхностного эффекта провода ACO 700  $k_{\rm min}=1,041$ , которое хорошо согласуется с соответствующей расчетной неличиной  $k_{\rm min}=1,036$  по кривым Двайта, представленным на рис. 2.

Следует заметить, что по некоторым опытам и анализу, имеющемуся в литературе [9, 11], колффициент поверхностного эффекта для
имогопроволочных вроводов очень близок корффициенту новерхностното эффекта для силошного проводника с таким же внутренним и внешвим диаметром, если они имеют одинаковое сопретивление постоянному току. Поэтому для сталеалюминиеных проводов корффициент поверхностного эффекта приближенно может быть взят равным корффициенту силошной трубы, имеющей внутренний диаметр, разный диаметру окружности, которая может быть внисана внутрь нажнего слоя
алюминиевых проволок, а внешний диаметр должен быть ранен диаметру окружности, описынающей паружный слоя алюминиевых проволок.

Таким образом, пропеденные исследования позволили оценить имеющиеся расчетные методы определения параметров применительно к отечественным проводам, что показано в табл. 1. При этом как следует из анализа работ [1, 2, 3], в настоящее время пельзя указать достаточно точных и швроко проверенных на практике методов расчета активного и внутрешнего реактивного сопротнылений сталеалюминиченых проводов. Поэтому в работе [8] были представлены полученные нами экспериментальные значения нариметров в записимости ит тока для различных наиболее распространенных типов проводов и запесены в специальные таблицы. Такое же направление для определения параметров существует и в США [2]. В то же время опыты ныявили и подтвердный ряд факторов, влияющих на параметры проводов, которые дают возможность с учетом прежних исследований провести их приближенный расчет.

Авализ работ [1, 2, 3] и наши исследования показали, что инжеверный расчет активного сопротивления для исех проводов с различным числом повивов должен производиться на базе учета как потерь в стали от прододьного потока, так и поверхностного эффекта по сечению провода.

Для точного определения потерь в стали необходимо иметь конкретную зависимость криной магитной проницаемости материала сердечвика от напряженности продольного магинтного поля. В случае ее отсутствия потери можно приближению вычислить по универсальной кривой [1], принеденной на рис. 1, а напряженность поля как указано выше. Необходимо отметить, что настрогая регламентация шага скрутки в ГОСТ 839—59, принодящая на практике к заметным отклонениям от предельных значений, и отсутствие каких-либо указаний о шаге скрутки в промежуточных повивах представляют определенные затруднения при разработке общих методов расчета активного сопретиваения сталеалюминиеных проподов.

Поверхностный эффект целесообразно определять по специальным криным, представленным на рис. 2, которые пересчитаны [2] для наиболее нажной для линий электропередач области значений  $k_{\rm new}$  (1.0—1.15) и в настоящей работе приведены в системе СИ,

При необходимости поправки на эффект близости, например, для двухпроводной линии, ее можно подсчитать, принимая провода трубчатыми, по формулам Арпольда, которые приведены в [7]. Внутреннее реактивное сопротивление рекомендуется считать в области до максимума кривой (4/11) по Моргану [3].

В качестве примера рассмотрим приближенный расчет активного сопротивления трехповивного провода ACO 700, конструктивные данные которого следующие: Ст  $(1-6-12)\cdot 2.5+$  Az  $(12-18+24)\times 4.1$ : d-37.1 мм:  $w_1=w_2=2.44$  литка м.  $w_1=2.93$  витка м;  $r_0=-0.398\cdot 10^{-1}$  ом м.

Как следует на изложенного выше, активное сопротивление любого провода можно представить в виде

$$= -\frac{1}{100} \cdot r_0 - \Delta r_{0100},$$

где k коэффициент поверхностного эффекта;

4 г. плосимое активное сопротивление, обусловленное потерями и стали от продольного потока.

Для рассчитываемого провода ACO 700  $k_{\rm пол}$  найдется по рис. 2 как функция от координаты  $\sqrt{\frac{f}{r_0}} = \sqrt{\frac{50}{0.398 \cdot 10}} = 1120$ . Определив величину, характеризующую отношение геометрических размеров сечения провода, которос в данном случае равно  $\frac{t}{d} = \frac{12,3}{37.1} = 0.33$ , по этому значению из кривой рис. 2 пайдем  $k_{\rm But} = 1,036$ .

Вносимое активное сопротивление от продольного потока будем определять для всех проводов как

$$\Delta r_{\text{out}} = x_{\text{qui}} \cdot \operatorname{tg} z = \alpha L_{\text{qui}} \cdot \operatorname{tg} z,$$

где  $\varphi$  угол потерь и равен углу сдвига фаз между потоком  $\Phi(B)$  и и током I(H).

Учитывая, что индуктивность  $I_{\text{прист.}}$  обусловленную продольным потоком, можно ныразить в следующем виде:

$$L_{\text{ax}} = \frac{\Psi_{\text{apa}}}{I} = \frac{\Phi_{\text{apa}}(u)}{I} = \frac{\mu H_0}{I} = \frac{\mu I m^2 s_0}{I} = \mu + s_0.$$

окончательно для 1 г имеем:

$$\Delta_{T,y} = \omega u m_{\phi} + tg_{\phi} = 314 \cdot 4 = 10$$
  $u_{\phi} + tg \circ [\sigma M, M]$ .

В этом выражения неизпестные w и s<sub>ct</sub> определятся из конструктивных данных провода, а у, и tg —по универсальной кривой (рис. 1).

Определив для ACO 700 Н по изложенному в статье пок ближенному способу, эквивалентное значение и найдем из выражения

$$= \frac{H_{\text{apo1}}}{I} = \frac{I_{\text{am}}}{I} - \frac{I_{\text{am}_2}}{I} - \frac{I_{\text{am}_1}}{I} =$$

$$= \frac{24}{54} \cdot 2,44 - \frac{18}{54} \cdot 2.44 - \frac{12}{54} \cdot 2,93 - 0,92.$$

Сечение стали для данного пропода равно:

$$s_{ci} = n_c$$
,  $= 19 \frac{\pm \cdot 2.5^2 \cdot 10^{-c}}{} = 93 \cdot 10^{-6}$ .

Подставив численные значения  $w^2$  и  $s_m$  получим для  $\Delta r_{max}$  следующее выражение

$$\Delta = 0.314 \cdot 10^{-1} \text{ m, by } \%$$

Далсе для определенного значения тока из расчетного выражения напряженности магнитного поля находим по кривой рис. 1 соответствующие значения % и  $\phi$  (tg  $\phi$ ).

Найденные таким образом величины  $r_{\rm part}$  для различных значений тока будут представлять литивное сопротивление при 20 С и не учитывают зависимости от температуры, которую в случае необходимости можно припять линейной [3].

Данные проведенного расчета и опыта для активного сопротивления коэффициента добавочных потерь провода ACO 700 представлены в табл. 3.

we to a series | known known known and Agric. 10 -1 ox x n, M tpu3 8.0 0,140 1,040 200 92 60 8.4 0.00240.41471.050 9,5 Pa 0 0.167300 184 65 10.8 0.0031 0,4157 1,045 1,055 0.4170 70 0.213400 276 14,9 0.00471.050 1.060 15,0 18,5 500 368 90 0.26824.10.0076 0.41981.055 1,070 0,335 1,065 1.065 600 460 110 36,9 0.0116 0.423925.0 70.0 1,060 550 150 0.4660.02200.4343 1,085

Из сравнения расчетных и опытных челичии можно отметить для указанного приблеженного расчета пполне достаточную для практики точность и рекомендовать его для применения.

Еревинский политехнический институт

#### h. d. muntaux

## ՊՈՂՊԱՏԱԱԼՅՈՒՄԻՆԵ ՀԱՂՈՐԳԱԼԱՐԵՐ ԱԿՏԻՎ ԳԻՐԱԳՐՈՒՐԵԱՆ ՀԱՇՎՈՒԾԸ ԱՐԳՅՈՒՆԱՔԵՐԱԿԱՆ ՀԱՃԱԽՈՒԹՅԱՆ ԳԵՊՔՈՒՄ

### Undernobucif

Պողպատատլյումինն աղորդալարնսի էլեկտրական պարտմետրների վա Հիմնական կոնսարուկտիվ գործոնների աղդեցության վերլուծության հիման վրա ցույց է արված, որ անկախ փաթքույթների քնվեց ակտիվ գիմադրության ինժեներական հաշվարկը պետք է կատարվի հաշվի առնելով ինչպես երկայնական ոստերներից պողպատի մեծ առաջացող կորուստեերը, այնպես և՝ գորդալարի հատվածքում առաջացող մակերևույթային էֆեկտը։

#### ЛИТЕРАТУРА

- 1. Нейман Л. Р.: Зайцев И. Л. Электрические параметры сталевающиниевых проводов. Электричество\*, 1935, № 19.
- W. A., Tuttle P. D. The Resistance and Reactance of Aluminium Conductors. Steel Reinforced (ACSR). Power Apparatus and Systems, 1959, No. 10.
- Morgan V. T. Electrical Characteristics of Steel-cored Aluminium Conductors.
   Proc Inst. Electr. Engrs. Power Record. 1965, vol. 112, No. 2.
- Сыромятников И. А. Об экономическим применении расширенных (увеличенного днаметря) проводов на линиях влектропередач высокого напряжения. "Электрячество", 1963, № 9.
- Лаександров Г. Н., Крылов С. В. Провода для линии электропередачи сверзамсокого наприжения. Электрические станции?, 1969. М. 3.
- Dwight H. B. Electrical Coils and Conductors, Mc. Graw-Hill Book Company, New York, 1945.
- Arnold A. H. M. The Alternating-current Resistance of parallel Conductors of Circular Crocc-section. JIEF, 1935, vol. 77.
- Кузнецов И. Ф., Катан В. Г., Малиян К. Р. Электрические параметры сталевамминиеных праводов на промышлениий и высоких частотах. "Изнестия АН СССР Энергетика и транспорт", 1968, № 3.
- W. Dmight H. B.Reactance of Stranded Conductors, Electrical World, New York, 1913, vol. 61, Apr.
- Zabersky J. Skin and Spiraling Effect in Stranded Conductors, AIEE Transactions, pt. 111, 1955, vol. 72.